

$$P = P_K - \frac{P_K - P_E}{L_K} \cdot x \quad (٢٤-٤)$$

$$v = -C \left(\frac{P_K - P_E}{L_K} \right)^{1/n} \quad (٢٥-٤)$$

نلاحظ من المعادلة (٢٤-٤) أن توزيع الضغط حسب قانون الارتشاح غير الخطي تتطابق تماماً مع معادلة توزيع الضغط لنفس الجريان عند الجريان المماثل حسب قانون الارتشاح الخطي ، لذلك يمكن استخدام نفس التحليل للمعادلات عند الجريان الخطي حيث يمكننا استنتاج مايلي :

(١) إن علاقة الضغط بالمسافة x خطية حيث إن الخط البيرومترى هنا يجب أن يكون مستقيماً .

(٢) سرعة الارتشاح وتدرج الضغط ثابتين ولايتعلقان بالمسافة x .

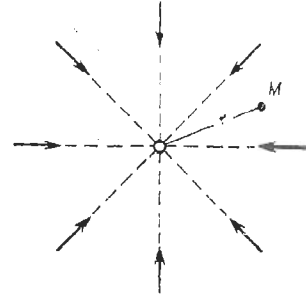
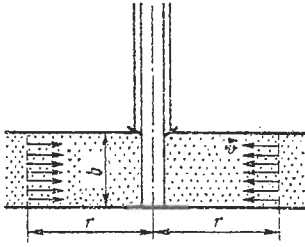
(٣) إن الإنتاجية Q ثابتة لاتتعلق بالمسافة x ، ولكن من المعادلتين (٢٣-٤)، (٢٥-٤) نجد أن للإنتاجية Q وسرعة الارتشاح v نفس العلاقة مع تدرج الضغط ، حيث إن هذه العلاقة منتظمة ثابتة وهذا يفسر بتحرك ذرات السائل بانتظام على طول مساراتها .

٤-٢- الجريان الدائري الشعاعي :

٤-٢-١- وصفه :

ليكن لدينا طبقة أفقية ذات سماكة ثابتة وامتداد غير محدود ، حفر فيها بئر احترقها بشكل كامل ، بحيث بقيت الطبقة مفتوحة ، مثل هذا البئر سمي بالبئر التام هيدروديناميكياً . لدى استخراج السائل من هذه الطبقة ، ستتحرك ذراته بخطوط مستقيمة أفقية بشكل شعاعي باتجاه مركز البئر . يسمى مثل هذا الجريان بالجريان الدائري الشعاعي ، حيث سيتم الجريان ضمن مستوى أفقي وسيشابه هذا الجريان مع الجريانات في المستويات الأفقية الأخرى ، لذلك فلدراسة هذا النوع من الجريانات تكفي دراسة الجريان ضمن مستوى واحد من هذه المستويات الأفقية . والشكل (٩-٤) يمثل المقطع الأفقي للجريان الارتشاحي الدائري الشعاعي بينما يمثل

الشكل (١٠-٤) المقطع العمودي له .



شكل (١٠-٤) : المقطع العمودي

شكل (٩-٤) : المقطع الأفقي للجريان

• للجريان الدائري الشعاعي .

• الدائري الشعاعي .

إن الضغط وسرعة الارتشاح في أية نقطة بعيدة عن مركز البئر r . ومنه يمكن القول إن هذا النوع من الجريانات هو نوع آخر من الجريانات الأحادية .

إذا كان البئر مخصصاً للحقن فإن اتجاه الجريان في الشكل (٩-٤) ، (١٠-٤) يجب أن يعكس .

تبقى المعادلات (١-٤) و (٤-٤) في هذا النوع من الجريانات صالحة ولكن بعد التعويض بدلاً عن L بنصف قطر شعاع حركة النقاط مع اعتبار عدم ثبات سطح المقطع العرضي للجريان F في الجريان الدائري الشعاعي .

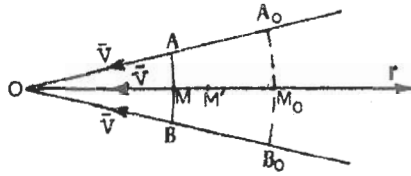
لنفرض أنه في النقطة O تلتقي جميع المسارات $A_0 A O$ ، $M_0 M O$ ، $B_0 B O$.

للجريان الدائري كما في الشكل (١١-٤) ، نرسم المحور الشعاعي r على طول إحدى المسارات باتجاه يعاكس اتجاه حركة ذرات السائل ، أما بقية الرموز فسنتحفظ بها كما وضحت بالشكلين (٣-٤) ، (٤-٤) وبنفس الطريقة سنحصل على مايلي :

$$v = \frac{Q}{F} = \frac{K}{\mu} \frac{dP}{dr} \quad (٢٦-٤)$$

وبناء على المعادلة (٢٤-١) يمكن أن نكتب :

$$v = m \cdot u = - m \frac{dr}{dt} \quad (٢٧-٤)$$



شكل (١١-٤) : جزء من الجريان الدائري الشعاعي

حيث إن : $r = OM$, $r + dr = OM'$

أما سطح الارتشاح F هنا فيتمثل بالسطح الجانبي للأسطوانة ذات نصف القطر r والارتفاع b (سماكة الطبقة) :

$$F = 2 \pi r b \quad (٢٨-٤)$$

أما إذا اقتصرنا على نصف القطر AO ، فإن سطح الارتشاح F سيكون مساوياً لجزء من السطح الجانبي للأسطوانة .

٤-٢-٢- الجريان الدائري الشعاعي حسب قانون الارتشاح الخطي :

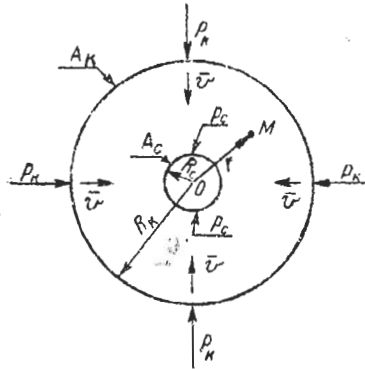
ليكن لدينا بئر تام هيدروديناميكياً ، حفر في مركز الطبقة الأفقية الدائرية ذات السماكة " b " . لنبحث الآن الجريان الدائري للسائل غير القابل للانضغاط عند نظام دفع الماء ، ولنعتبر أن السائل يجري من الطبقة المتحانسة إلى البئر حسب قانون الارتشاح الخطي ، يوضح الشكل (١٢-٤) ، المسقط الأفقي للجريان الدائري الشعاعي ، حيث إن A_0 المقطع الأفقي للبئر ذي نصف القطر R_0 ، بينما A_R فيمثل المقطع الأفقي لكونتور التغذية ذي نصف القطر R_R .

قبل البدء في الإنتاج يكون الضغط المصغر في الطبقة ككل متساوياً ويساوي P_R^* .

ولبدء في الإنتاج لابد من تخفيض الضغط الطبقي في المنطقة القاعية ، على اعتبار أن

الضغط على الكونتور لم يتغير وبقي ثابتاً ومساوياً P_R^* . إن الضغط الطبقي المصغر في

المنطقة القاعية P_c^* يسمى بضغط القاع الديناميكي المصغر .



شكل (٤-١٢) : المقطع الأفقي للطبقة والبئر الثام هيدروديناميكياً لدى اجريان الدائري الشعاعي

وهكذا فإن الجريان في الطبقة سيتم على حساب فاقد الضغط $P_K^* - P_C^*$.
 وباعتبار تغذية الطبقة دائمة فإنه لدى انخفاض الضغط P_K^* سوف يعوض هذا الضغط
 من حديد وبالتالي سيقى ثابتاً . وإذا إعتبرنا أن المقاطع A_K ، A_C تمثل مقاطع الحد
 السفلي للطبقة (الغطاء السفلي) فإن الضغوط عند هذه المقاطع ستكون P_K ، P_C ،
 ومن الواضح عندئذ أن :

$$P_K^* - P_C^* = P_K - P_C = \Delta P \quad (٤-٢٩)$$

لذلك تكفي دراسة هذا النوع من الجريان في مستوى واحد فقط . وعلينا تعيين
 كل من الإنتاجية والضغط وتدرج الضغط وسرعة الارتشاح وقانون حركة ذرات
 السائل على طول مساراتها ، والضغط الوسطي في الفراغات المسامية .
 اعتماداً على قانون الارتشاح الخطي (٤-٢٦) والمعادلة (٤-٢٨) سوف نحصل على :

$$dP = \frac{Q \cdot \mu}{2 \pi b K} \frac{dr}{r} \quad (٤-٣٠)$$

حيث إن : P - الضغط في النقطة M ذات البعد r عن مركز البئر .
 Q - إنتاجية البئر الثابتة .

للحصول على معادلة الضغط نقوم بمكاملة المعادلة (٣٠-٤) عند المجالات

التالية $[P, P_K]$ ، $[r, R_K]$ فنحصل على :

$$P = P_K - \frac{Q \cdot \mu}{2 \pi b K} \ln \frac{R_K}{r} \quad (٣١-٤)$$

أما لتعيين إنتاجية البئر نكامل المعادلة (٣٠-٤) عند حدود معروفة

$[R_c, R_K]$ ، $[P_c, P_K]$ فنحصل على :

$$Q = \frac{2 \pi K (P_K - P_c) \cdot b}{\mu \ln \frac{R_K}{R_c}} \quad (٣٢-٤)$$

تدعى هذه المعادلة باسم الباحث الذي حصل عليها (ديويي) .

لنعرض قيمة Q المحصول عليها بالمعادلة السابقة في المعادلات (٣٠-٤)، (٣١-٤)

(٣٦-٤) فنحصل على كل من تدرج الضغط والضغط وسرعة الارتشاح في أية

نقطة من نقاط المستوي المدروس :

$$\frac{dP}{dr} = \frac{P_K - P_c}{\ln \frac{R_K}{R_c}} \frac{1}{r} \quad (٣٣-٤)$$

$$P = P_K - \frac{(P_K - P_c)}{\ln \frac{R_K}{R_c}} \ln \frac{R_K}{r} \quad (٣٤-٤)$$

أو يمكن كتابة معادلة الضغط على النحو التالي بعد تغيير حدود التكامل :

$$P = P_c + \frac{P_K - P_c}{\ln \frac{R_K}{R_c}} \ln \frac{r}{R_c} \quad (٣٥-٤)$$

$$v = \frac{K (P_K - P_c)}{\mu \ln \frac{R_K}{R_c}} \frac{1}{r} \quad (٣٦-٤)$$

ومن المعادلة (٣٧-٤) يمكن الحصول على قانون حركة ذرات السائل ضمن

المستوى الأفقي :

$$dt = - \frac{m}{v} dr$$

نعوض قيمة v من المعادلة (٣٦-٤) ثم نكامل ضمن الحدود $[0 , t]$ ،
 فنحصل على المعادلة التالية :

$$t = \frac{m \cdot \mu \cdot /n \cdot R_K}{K (P_K - P_0)} \cdot \frac{R_0^2 - r^2}{2} = \frac{\pi m b (R_0^2 - r^2)}{Q} \quad (٣٧-٤)$$

حيث إن : R_0 - الموقع الأولي لذرة السائل عند الزمن $t = 0$ ،
 r - موقع الذرة عند الزمن t ،

وللحصول على الزمن اللازم لإنتاج كل السائل الموجود في الطبقة T نعوض

المعادلة (٣٧-٤) بدلاً من $R_0 \rightarrow R_K$ ، وبدلاً من $r \rightarrow R_0$ فنحصل على :

$$T = \frac{\pi m b (R_K^2 - R_0^2)}{Q} \quad (٣٨-٤)$$

لنحسب الضغط الوسطي في الفراغات المسامية للطبقة :

$$P = \frac{1}{V_p} \int_{V_p} P dV_p \quad (٣٩-٤)$$

حيث إن :

$V_p = \pi (R_K^2 - R_0^2) b m$ الحجم الكلي للفراغات المسامية في الطبقة .

$V_p = \pi (r^2 - R_0^2) b m$ حجم الفراغات المسامية في الجزء المدروس ذي نصف القطر r .

وبتعويض قيمة P من المعادلة (٣٤-٤) والقيم السابقة في المعادلة (٣٩-٤) ،

وبإجراء التكامل عند الحدود $[R_0 \rightarrow R_K]$ مع الأخذ بعين الاعتبار أن $R_0 \ll R_K$

نحصل على المعادلة التالية :

$$\bar{P} = P_K - \frac{P_K - P_0}{2 /n \cdot \frac{R_K}{R_0}} \quad (٤٠-٤)$$

إن المعادلات التي حصلنا عليها تصف الجريان الدائري الشعاعي للسائل غير

القابل للانضغاط في الطبقات المتجانسة . ستقوم بتحليل هذه المعادلات ، وقبل كل

شيء وبما أننا قد استخدمنا فرق الضغط في كل المعادلات فيمكن أن نستخدم القيم

المطلقة للضغوط بدلاً من المصغرة وذلك حسب المعادلة (٤-٢٩) ولدى تحليل هذه المعادلات تم التوصل إلى الاستنتاجات التالية :

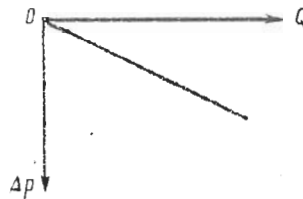
(١) إن إنتاجية البئر حسب معادلة ديوي (٤-٣٢) ، ترتبط خطياً مع فرق الضغط $\Delta P = P_k - P_e$ وهي ثابتة خلال السطوح الأسطوانية الموازية لجدار البئر الأسطواني أي أنها لا تتعلق بالبعد r .

تسمى علاقة الإنتاجية بفرق الضغط بالدليل البياني . وستكون هذه العلاقة حسب المعادلة (٤-٣٢) خطية وبالتالي سيكون الدليل البياني عبارة عن خط مستقيم (الشكل ٤-١٣) . أما نسبة الإنتاجية إلى فرق الضغط فيدعى معامل إنتاجية البئر N ويحسب من المعادلة (٤-٣٢) :

$$N = \frac{Q}{\Delta P} = \frac{2 \pi K b}{\mu \ln \frac{R_k}{R_e}} \quad (٤-٤١)$$

أما واحدة قياس معامل الإنتاجية N هي :

$$[N] = \frac{m^3 / S}{Pa} = \frac{m^4 S}{kg}$$

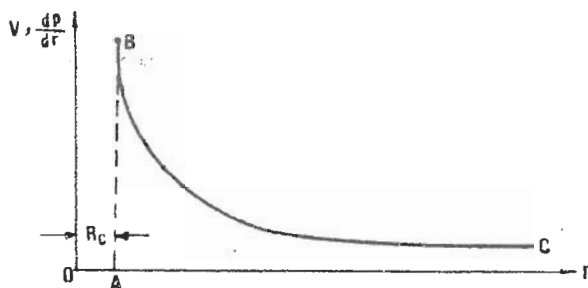


شكل (٤-١٣) : الدليل البياني للجريان الدائري الشعاعي

للسائل غير القابل للانضغاط

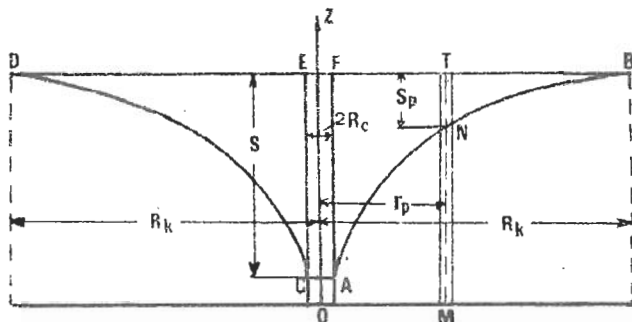
(٢) من الملاحظ في المعادلتين (٤-٣٣) ، (٤-٣٦) أن تدرج الضغط $\frac{dP}{dr}$ وسرعة

الارتشاح v في نقطة مامن الطبقة يتناسبان عكساً مع بعد هذه النقطة عن مركز البئر r وهذه العلاقة ممثلة في الشكل رقم (١٤-٤) ، وهي عبارة عن قطع زائد .



شكل (١٤-٤) علاقة سرعة الارتشاح وتدرج الضغط بالبعد عن مركز البئر
 نلاحظ من المنحني أن تدرج الضغط وسرعة الارتشاح تزدادان بشكل سريع
 ويصلان إلى القيمة العظمى عند جدران البئر ، حيث إن المستقيم المنقط العمودي يمثل
 جدران البئر . وأن علاقة سرعة الارتشاح بالمسافة r تتطابق مع العلاقة المبسطة الممثلة
 بالمعادلتين (٢٦-٤) ، (٢٨-٤) .

٣) من المعادلتين (٣٤-٤) ، (٣٥-٤) نلاحظ أن للضغط علاقة لوغاريتمية مع
 بعد النقطة المدروسة عن مركز البئر r . لرسم هذه العلاقة نقوم بوضع محور الضغط والإحداثية
 Z على محور البئر ، ثم نرسم هذه العلاقة فتأخذ الشكلين الممثلين بالخطوط AB ، CD ،
 (الشكل ١٥-٤) وإدارة أحدهما حول محور البئر سيتشكل قمع يدعى قمع انخفاض الضغط .



شكل (١٥-٤) منحني توزيع الضغط في الجريان الدائري الشعاعي

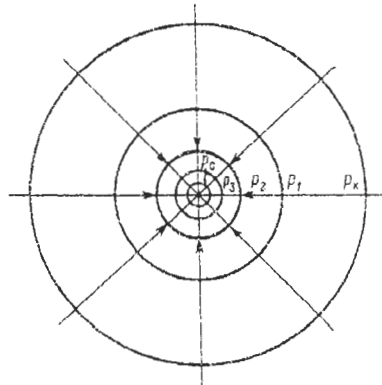
لابد من الإشارة إلى أن منحنى توزيع الضغط لا ينس الخط الأفقي DB في النقطة $r = R_k$ ولكن يقطعه بزاوية ميل ما . وأن سرعة انخفاض الضغط تزداد بسرعة كلما اقتربنا من جدران البئر ، وذلك حسب القانون اللوغاريتمي لتوزيع الضغط . لذلك فإن مؤشرات المنطقة القريبة من البئر هي التي تؤثر بشكل كبير على إنتاجيته .

يمكن رسم مجموعة خطوط الإيزوبار للحريان الدائري الشعاعي بناء على إحدى المعادلتين (٤-٣٤) ، (٤-٣٥) ، حيث سبتساوى الضغط الطبقي في النقاط التي تبعد مسافة واحدة عن مركز البئر ، أي عندما يكون $r = \text{const}$ ، أو حسب العلاقة $x^2 + y^2 = r^2$ ، وهي معادلة دائرة ، أي أن لخطوط الإيزوبار شكلاً دائرياً مركزه محور البئر . ومن الملاحظ أن خطوط الإيزوبار هذه ستتعامل مع مسارات حركة ذرات السائل ، وهذا ما يوضحه الشكل (٤-١٦) وإذا اعتبرنا أن :

$$P_k - P_1 = P_1 - P_2 = P_2 - P_3 = \text{const}$$

فإن المسافة ما بين خطوط الإيزوبار ستتناقص باتجاه مركز البئر ، ودرجة التناقص ستزداد تدريجياً وسيكون التناقص كبيراً جداً في المنطقة القريبة من البئر .

كذلك فإن الخطوط الأفقية EF ، CA في الشكل (٤-١٥) تمثل المستوى الستاتيكي والديناميكي للسائل في البئر .



شكل (٤-١٦) الحقل الهيدروديناميكي للحريان الدائري الشعاعي

سنقوم بإجراء بعض التغييرات في المعادلات السابقة مع الأخذ بعين الاعتبار مايلي :

$$P_K = \gamma H_K , P_C = \gamma H_C \quad (٤٢-٤)$$

ومنه :

$$P_K - P_C = P_K^* - P_C^* = \gamma (H_K - H_C) = \gamma \cdot S \quad (٤٣-٤) \quad \text{البئر}$$

حيث إن : H_K - ارتفاع مستوى السائل عند كونتور التغذية ،

H_C - ارتفاع مستوى السائل في البئر ، γ - الوزن النوعي للسائل ،

S - الفرق بين ارتفاع السائل عند كونتور التغذية وفي البئر .

إذا كان عمل البئر ميكانيكياً (يعمل بواسطة المضخة الغاطسة) والسائل

متجانساً أي $\gamma = \text{const}$ عندئذ يفهم من H_K ، H_C - ارتفاع مستوى السائل

الستاتيكي والديناميكي الفعال عند قاع البئر ، أما S فتمثل انخفاض المستوى

الديناميكي الفعال عن المستوى الستاتيكي . ويقاس كل من P_K ، P_C بجهاز الأميراد

(جهاز لقياس الضغط في البئر) ، ومن المعادلات (٤٢-٤) ، (٤٣-٤) يمكن

حساب H_K ، H_C بعد معرفة γ .

ولحساب الإنتاجية باستخدام هذه المفاهيم نقوم بتعويض قيم الضغط من المعادلة

(٤٢-٤) في معادلة الإنتاجية (٣٢-٤) فنحصل على مايلي :

$$Q = \frac{2 \pi b K \gamma (H_K - H_C)}{\mu / n \frac{R_K}{R_C}} = \frac{2 \pi b K \gamma S}{\mu / n \frac{R_K}{R_C}} \quad (٤٤-٤)$$

ومنه نلاحظ أن الإنتاجية تتناسب طردياً ، إما مع فرق الضغط أو انخفاض مستوى

السائل عن المستوى الستاتيكي S .

إذا حفر بئر للمراقبة MT (الشكل ٤-١٥) بحيث يبعد مسافة r_1 عن بئر

الإنتاج ، فباستخدام المعادلة (٤٤-٤) يمكن الحصول على المعادلة التالية :

$$\frac{P_k - P_p}{P_k - P_c} = \frac{S_p}{S} = \frac{f_n R_k r_p}{f_n R_k R_c} \quad (45-4)$$

حيث إن $S_p = TN$ - انخفاض مستوى السائل في بئر المراقبة عن المستوى الستاتيكي هو ناتج عن عمل بئر الإنتاج .

ملاحظة :

عندما تكون أبعاد المكمن كبيرة أي $R_k \gg R_c$ ، عندها يمكن إهمال R_c وبالتالي تصبح علاقة ديوي على النحو التالي :

$$Q = \frac{2 \pi b K (P_k - P_c)}{\mu f_n R_k} \quad (46-4)$$

أي أن انخفاض الضغط سيصبح تابعاً لوغاريتمياً لبعدها كونتور التغذية عن البئر النامة هيدروديناميكياً .

٤-٢-٣- الجريان الدائري الشعاعي حسب قانون الارتشاح غير الخطي :

إن قانون الارتشاح غير الخطي عند شروط الجريان الدائري (الشكل ٤-١١)

سيكون على الشكل التالي :

$$v = \frac{Q}{F} = C \left(- \frac{dP}{dr} \right)^{1/n} \quad 1 \leq n \leq 2 \quad (47-4)$$

حيث إن C ، n - قيم ثابتة وإن F يعين بالمعادلة (٤-٢٨) وتستخدم نفس

الطريقة من أجل دراسة الجريان الدائري الشعاعي أثناء الارتشاح غير الخطي .

من المعادلة السابقة يمكن أن نكتب :

$$dP = - \left(\frac{Q}{2 \pi b c} \right)^n \frac{dr}{r^n} \quad (48-4)$$

نكامل هذه المعادلة عند الحدود $[P \rightarrow P_p]$ ، $[r \rightarrow R_k]$ فنحصل على علاقة

حساب الضغط :

$$P = P_k - \left(\frac{Q}{2 \pi b c} \right)^n \cdot \frac{1}{n-1} \left(\frac{1}{r^{n-1}} - \frac{1}{R_k^{n-1}} \right) \quad (49-4)$$